

© 1991

## ЯВЛЕНИЯ ПЕРЕНОСА В ВИСМУТЕ ПРИ 77 К

B. A. Немчинский, Ю. И. Равич

Производится расчет кинетических коэффициентов в магнитном поле для висмута на основе теоретической модели, учитывающей сложную зонную структуру, акустическое и рекомбинационное рассеяние носителей. При использовании параметров зонной структуры, полученных из независимых измерений, и трех подгоночных параметров, характеризующих рассеяние, удается добиться согласия с экспериментом для всей совокупности кинетических коэффициентов в нелегированном висмуте при температуре 77 К. При более высоких температурах полученные ранее путем анализа гальваномагнитных эффектов подвижности и концентрации носителей требуют пересмотра с учетом отличий факторов Холла и магнитосопротивления от единицы.

Явления переноса в висмуте и его сплавах с сурьмой экспериментально исследовались в большом числе работ. Между тем до сих пор отсутствует теоретическая модель, позволяющая производить расчет всей совокупности<sup>1</sup> кинетических коэффициентов в магнитном поле с единой точки зрения. Так, при обсуждении данных по термоэдс предполагается рассеяние носителей на акустических фонах, причем обычно термоэдс не вычисляется, а используется для определения химического потенциала. Учет непараболичности зоны проводимости при сохранении предположения об акустическом рассеянии резко ухудшает согласие теории с экспериментом для термоэлектрических и термомагнитных эффектов. Привлеченная с целью устранения этого противоречия «квазирараболическая» модель [1, 2], по нашему мнению, не является корректной (см. Приложение).

При исследовании гальваномагнитных эффектов в слабых магнитных полях теоретический анализ полученных экспериментальных результатов обычно производится с целью определения таких параметров, как подвижности и концентрации электронов и дырок, по совокупности измеряемых коэффициентов [3–7]; при этом факторы Холла и магнитосопротивления, обусловленные энергетической зависимостью времени релаксации, считаются близкими к единице. Учет непараболичности при акустическом рассеянии приводит к значительному росту этих факторов для электронов в случаях, когда отсутствует сильное статистическое вырождение, что ставит под вопрос величины феноменологических параметров, полученные гальваномагнитным методом.

В настоящей работе на основе теоретической модели, учитывающей сложную зонную структуру и смешанный механизм рассеяния носителей тока в висмуте, вычисляется вся совокупность кинетических коэффициентов в магнитном поле. Учитываются анизотропия и непараболичность энергетических зон, внутридолинное рассеяние на акустических фонах и межзонное (рекомбинационное) рассеяние [8, 9], обусловленное переходами электронов между зоной проводимости и валентной зоной. Используются параметры зонной структуры (энергетические зазоры между зонами и эффективные массы носителей), полученные путем независимых измере-

<sup>1</sup> Заметим, что для расчета термоэлектрических устройств, в которых используются сплавы Bi–Sb, требуется знать практически все компоненты тензоров кинетических коэффициентов в магнитном поле.

ний таких эффектов, как осцилляции Шубникова-де Гааза, магнитооптическое поглощение и циклотронный резонанс [10-17]. Величины, характеризующие интенсивность различных механизмов рассеяния, являются параметрами модели, подлежащими подгонке (3 подгоночных параметра для расчета более 20 величин, сопоставляемых с экспериментальными при данной температуре). Для упрощения вычислений в модель введены те аппроксимации, которые не нарушают ее способности предсказывать с точностью, достаточной для понимания явлений переноса, значения кинетических коэффициентов, характер их зависимостей от температуры и магнитного поля. Например, в модели не учитывается наклон больших осей изоэнергетических эллипсоидов относительно плоскости, перпендикулярной тригональной оси; не учитывается анизотропия рассеяния носителей тока и фононного спектра; рассеяние считается упругим.

## 1. Теоретическая модель

Изоэнергетические поверхности зоны проводимости висмута вблизи экстремумов представляют собой три сильно вытянутых трехосных эллипсоида с центрами в точках  $L$  зоны Бриллюэна. Такую же структуру имеет зона «легких»  $L$ -дырок, отделенная от электронной зоны узкой энергетической щелью  $E_g$  (15.2 мэВ при 77 К [10, 14]) и связанная с зоной проводимости кр-взаимодействием, что приводит к сильной непарараболичности закона дисперсии двух зон и зависимости блоховских амплитуд от квазимпульса. Простейшая двухзонная модель непарараболичности приводит к закону дисперсии в координатах, связанных с осями эллипсоидов

$$E \left( 1 + \frac{E}{E_g} \right) = \sum_{i=1}^3 \frac{\hbar^2 k_i^2}{2m_{iL}^*}, \quad (1)$$

где  $m_{iL}^*$  — эффективные массы электронов и  $L$ -дырок вблизи краев зон. Используя значения циклотронных эффективных масс электронов на уровне Ферми, полученных из измерений при низких температурах [18], и соотношение (1), находим следующие значения  $m_{iL}^*$ :  $m_{1L}^* = 0.116 \cdot 10^{-2} m_0$ ,  $m_{2L}^* = 0.258 m_0$ ,  $m_{3L}^* = 0.221 \cdot 10^2 m_0$ . Ось 1 эллипсоида совпадает с бинарной осью кристалла, ось 2 составляет с биссекторной осью малый угол ( $\sim 7^\circ$ ), которым мы пренебрежем для простоты расчета; при этом ось 3 эллипсоида совпадает с тригональной осью.

Главный экстремум валентной зоны расположен в точке  $T$ ; изоэнергетическая поверхность  $T$ -дырок — эллипсоид вращения, сильно вытянутый в направлении тригональной оси; эффективные массы равны  $m_{1T}^* = m_{2T}^* = -0.0639 m_0$  и  $m_{3T}^* = 0.703 m_0$  [18]. Непарараболичность дырочной  $T$ -зоны значительно меньше, чем  $L$ -зоны, и не учитывается в нашем расчете. Край  $T$ -зоны расположен выше дна зоны проводимости, перекрытие зон составляет  $E_{LT} = 39$  мэВ [10, 17]. В глубине валентной зоны имеется зона «тяжелых» дырок, однако она не вносит заметного вклада в кинетические коэффициенты в нелегированном висмуте, как и зона «легких»  $L$ -дырок.

Решение кинетического уравнения дает следующее выражение для компонент тензора электропроводности электронов в одном эллипсоиде в системе координат, связанной с осями рассматриваемого эллипсоида:

$$\sigma_{ik} = \frac{e^2 (2m_{dL}^* k_i T)^{3/2}}{3\pi^2 \hbar^3 (m_{1L}^* m_{2L}^* m_{3L}^*)^{1/2}} \int_0^\infty \left( -\frac{\partial f}{\partial \varepsilon} \right) \frac{\tau(\varepsilon) \left[ \varepsilon \left( 1 + \frac{e}{\varepsilon_g} \right) \right]^{3/2}}{\left( 1 + 2 \frac{e}{\varepsilon_g} \right) (1 + \Omega^2)} \times \\ \times \left( \hat{\delta}_{ik} + \sum_{l=1}^3 \varepsilon_{ilk} \Omega_l + \Omega_i \Omega_k \right) d\varepsilon. \quad (2)$$

Здесь  $m_{dL}^* = (m_{1L}^* m_{2L}^* m_{3L}^*)^{1/3}$  — эффективная масса плотности состояний для одного эллипсоида;  $e$  и  $\varepsilon_g$  — соответственно энергия электрона и энерге-

тическая щель (в ед.  $k_0 T$ );  $\delta_{ik}$  и  $\varepsilon_{ilk}$  — символ Кронекера и полностью антисимметричный единичный тензор; составляющие вектора  $\Omega$  пропорциональны компонентам  $B_i$ , вектора магнитной индукции  $\mathbf{B}$  в системе координат, связанной с осям эллипсоида

$$\Omega_i = \frac{e\tau(\varepsilon) m_{il}^{*1/2} B_i}{\left(1 + 2 \frac{\varepsilon}{\varepsilon_g}\right) m_{dl}^{*3/2}}. \quad (3)$$

Время релаксации электронов  $\tau(\varepsilon)$  определяем, принимая во внимание рассеяние на акустических фононах и рекомбинационное рассеяние

$$\begin{aligned} \tau^{-1}(\varepsilon) = C_N \left( \frac{k_0 T}{1 \text{ мэВ}} \right)^{3/2} & \left\{ \left( \frac{m_{dl}^*}{m_0} \right)^{3/2} \left[ \varepsilon \left( 1 + \frac{\varepsilon}{\varepsilon_g} \right) \right]^{1/2} \left( 1 + 2 \frac{\varepsilon}{\varepsilon_g} \right) + \right. \\ & \left. + x \left( \frac{m_{dT}^*}{m_0} \right)^{3/2} (\varepsilon_{LT} - \varepsilon)^{1/2} \right\}. \end{aligned} \quad (4)$$

Оба рассматриваемых механизма рассеяния предполагаются упругими, т. е. энергии не только длинноволновых акустических фононов, но и коротковолновых фононов, ответственных за переходы между  $L$ - и  $T$ -зонами, считаются не превышающими  $k_0 T$ . Обратные времена релаксации для каждого механизма рассеяния в (4) пропорциональны плотности состояний для той зоны, в которую осуществляется рассеяние. Выражение (4) выписано для  $\varepsilon < \varepsilon_{LT}$ , в противном случае следует учитывать лишь первое из двух слагаемых. Энергетическая зависимость времени релаксации электронов имеет немонотонный характер с резким изломом при  $\varepsilon = \varepsilon_{LT}$ . Константа  $C_N$  характеризует интенсивность акустического рассеяния, интенсивность рекомбинационного пропорциональна  $x C_N$ , т. е. константа  $x$ , определяет относительный вклад рекомбинационного рассеяния. Константа  $C_N$  может включать в себя дополнительные вклады некоторых других возможных механизмов рассеяния, таких как переходы между эквивалентными  $L$ -эллипсоидами и рассеяние на оптических фононах, что также соответствует приближенному характеру выражения (4). Мы не учитываем зависимость вероятности рассеяния от энергии в области непараболичности имея в виду, что квадрат матричного элемента взаимодействия стремится к пределам одного и того же порядка величины как при малых, так и больших  $\varepsilon/\varepsilon_g$  (см. Приложение), т. е. константа  $C_N$  пропорциональна некоторому среднему значению вероятности рассеяния.

Выражение для времени релаксации  $T$ -дырок содержит константу  $C_P$ , аналогичную  $C_N$  и характеризующую интенсивность рассеяния дырок на акустических фононах. Рекомбинационное рассеяние дырок определяется той же константой ( $x C_N$ ), что и электронов.

Другие кинетические интегралы отличаются от (2) множителями  $\varepsilon - \zeta^*$  или  $(\varepsilon - \zeta^*)^2$  в подынтегральных выражениях ( $\zeta^*$  — приведенный химический потенциал).

Выполнив численное интегрирование, получаем компоненты трех тензоров типа (2) для каждого эллипса; переходим в систему координат, связанную с осями симметрии кристалла; суммируем вклады всех эллипсоидов и различных типов носителей; затем по известным формулам получаем три тензора: удельное сопротивление  $\rho_{ik}(\mathbf{B})$ , термоэдс  $\alpha_{ik}(\mathbf{B})$  и электронную теплопроводность  $\kappa_{ik}(\mathbf{B})$ . Через компоненты этих тензоров, которые вычисляются в рамках одной программы расчета, выражаются все кинетические коэффициенты в магнитном поле.

## 2. Результаты расчета кинетических коэффициентов в нелегированном висмуте при 77 К

В результате выполнения программы расчета, кратко описанной в предыдущем разделе, были получены компоненты трех тензоров  $\rho_{ik}$ ,  $\alpha_{ik}$  и  $\kappa_{ik}$  для каждого заданного значения магнитной индукции  $\mathbf{B}$ , приведенного

химпотенциала  $\zeta^*$  и трех параметров рассеяния  $x$ ,  $C_L$ ,  $C_P$ . Величина  $\zeta^*$  для нелегированного висмута определялась из условия равенства концентраций электронов и дырок, что дает для электронов при 77 К  $\zeta^*=4.4$ ; для дырок приведенный химпотенциал равен  $\epsilon_{LT}=\zeta^*=1.5$ . Три подгоночных параметра  $x$ ,  $C_L$  и  $C_P$  были найдены из экспериментальных величин термоэдс в направлении тригональной оси  $\alpha_{33}=-90 \text{ мкВ/К}$  [18] и подвижностей электронов в том же направлении  $\mu_3=39 \cdot 10^4 \text{ см}^2/\text{В}\cdot\text{с}$  и дырок в перпендикулярном направлении  $\mu_i=10 \cdot 10^4 \text{ см}^2/\text{В}\cdot\text{с}$ , полученных путем анализа гальваномагнитных эффектов [6]:  $x=0.3$ ,  $C_L=6.0 \cdot 10^{11}$  и  $C_P=0.5 \cdot 10^{11} \text{ с}^{-1}$ , что соответствует эффективным константам деформационного потенциала порядка нескольких электронвольт.

Результаты расчета различных гальваномагнитных и термоэлектромагнитных коэффициентов при 77 К приведены в таблице, а также на

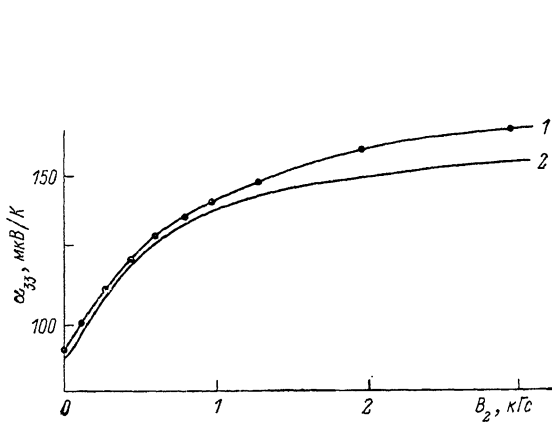


Рис. 1. Термоэдс в направлении тригональной оси как функция магнитной индукции в биссекторном направлении  $\alpha_{33}$  ( $B_2$ ).

1 — эксперимент [18], 2 — наш расчет.

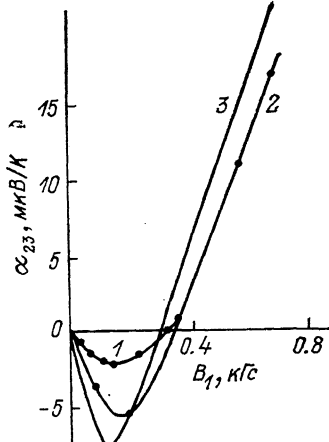


Рис. 2. Недиагональная компонента термоэдс, определяющая эффект Нернста—Эттинггаузена, в магнитном поле в направлении бинарной оси  $\alpha_{23}$  ( $B_1$ ).

1 — эксперимент [19]; 2 — экспериментальная кривая, приведенная в статье [2]; 3 — наш расчет.

рис. 1, 2 вместе с соответствующими экспериментальными данными, собранными из различных работ: гальваномагнитными коэффициентами  $\rho_{ii}$ ,  $\rho_{ikl}$  и  $\rho_{iklm}$  [6], термоэдс при отсутствии магнитного поля в направлениях бинарной (или биссекторной) оси  $\alpha_{11}$  [7], термомагнитными коэффициентами  $\alpha_{ik}(B_t)$  [2, 18–20], изменением теплопроводности в магнитном поле [21].

Расчет дает правильные значения удельного сопротивления при отсутствии магнитного поля  $\rho_{33}$  и  $\rho_{11}$ ; малая анизотропия сопротивления соответствует эксперименту. Гальваномагнитные коэффициенты в слабом магнитном поле можно разделить на «большие» и «малые». Относительная малость коэффициентов второй группы обусловлена малостью не учитываемого в расчете наклона осей эллипсоидов к базовой плоскости и большой величиной эффективной массы  $m_{2L}^2$ , которая определена с наименьшей точностью. Характер аппроксимаций в используемой расчетной модели заставляет ожидать, что только для «больших» кинетических коэффициентов будет иметь место количественное согласие расчета с экспериментом, для «малых» же достаточно совпадения теоретических и экспериментальных значений по порядку величины. К «большим» гальваномагнитным коэффициентам (из приведенных в таблице) относятся холловская компонента  $\rho_{231}$  и коэффициенты магнитосопротивления  $\rho_{1111}$ ,  $\rho_{1122}$  и  $\rho_{3311}$ , к «малым» —  $\rho_{123}$  и  $\rho_{1133}$ . В таблице приводятся также в качестве примера гальваномагнитных эффектов в сильном магнитном поле компоненты тензора удельного сопротивления при  $B_2=10$  кГс.

Сравнение экспериментальных и теоретических величин  
кинетических коэффициентов  
в нелегированных образцах Bi при 77 К

Величина	Эксперимент	Расчет
$\rho_{33}, 10^{-4}$ Ом·см	0.36	0.42
$\rho_{11}/\rho_{33}$	0.89	0.85
$\rho_{231}, 10^{-8}$ Ом·см/Гс	10.6	13.8
$\rho_{123}, 10^{-8}$ Ом·см/Гс	-0.2	-0.6
$\rho_{3311}, 10^{-12}$ Ом·см/Гс <sup>2</sup>	160	177
$\rho_{1111}, 10^{-12}$ Ом·см/Гс <sup>2</sup>	133	188
$\rho_{1122}, 10^{-12}$ Ом·см/Гс <sup>2</sup>	160	226
$\rho_{1133}, 10^{-12}$ Ом·см/Гс <sup>2</sup>	35.5	16
$\rho_{33} (B_2=10 \text{ кГс})/\rho_{33} (0)$	170	240
$\rho_{11} (B_2=10 \text{ кГс})/\rho_{11} (0)$	33	38
$\alpha_{11} (0), \text{ мкВ/К}$	-40	-44
$\alpha_{33} (B_2 \geq 3 \text{ кГс}), \text{ мкВ/К}$	-163	-153
$\Delta \alpha_{11} (B_3=10 \text{ кГс}), \text{ мкВ/К}$	-60	-80
$\Delta \alpha_{11} (B_2=5 \text{ кГс}), \text{ мкВ/К}$	+10	+6
$\Delta \alpha_{11} (B_1=10 \text{ кГс}), \text{ мкВ/К}$	+18	+17
$\alpha_{31} (B_2=5 \text{ кГс}), \text{ мкВ/К}$	600	970
$\Delta \alpha_{33} (B_2 \geq 2 \text{ кГс}), \text{ Вт/см} \cdot \text{К}$	-0.03	-0.033
$\Delta \alpha_{11} (B_2=10 \text{ кГс}), \text{ Вт/см} \cdot \text{К}$	-0.03	-0.031
$\Delta \alpha_{11} (B_3=10 \text{ кГс}), \text{ Вт/см} \cdot \text{К}$	-0.05	-0.056

Термоэдс при отсутствии магнитного поля  $\alpha_{11}$  в направлении, перпендикулярном тригональной оси, полученная путем расчета без подгоночных параметров, соответствует эксперименту. Расчет дает также наблюдаемую сильную зависимость термоэдс  $\alpha_{33}$  от магнитного поля  $B_2$ ; в согласии с экспериментом [18]  $\alpha_{33}$  достигает насыщения в магнитных полях около 3 кГс (рис. 1). Удовлетворительно согласуются с экспериментом расчетные термомагнитные коэффициенты, в том числе немонотонно зависящий от магнитного поля  $B_1$  коэффициент Нернста—Эттингсгаузена, определяемый недиагональной компонентой тензора термоэдс  $\alpha_{23}$  (рис. 2).

Наконец, расчетные зависимости теплопроводности от магнитного поля, обусловленные ее электронной составляющей, также соответствуют экспериментальным.

Таким образом, расчет с тремя подгоночными параметрами рассеяния в принятой теоретической модели позволяет вычислить всю совокупность большого числа кинетических коэффициентов в магнитном поле в собственном висмуте при температуре 77 К.

### 3. Температурная зависимость кинетических коэффициентов

Для расчета температурной зависимости кинетических коэффициентов требуется знать температурные изменения параметров зонной структуры, полная информация о которых отсутствует. Согласно магнитооптическим данным [14], энергетическая щель  $E_g$  заметно возрастает с температурой (до 36.7 мэВ при 300 К). Температурное изменение перекрытия зон  $E_{LT}$  неизвестно, но из зависимости перекрытия от давления можно сделать вывод, что оно относительно невелико, и предположение о его отсутствии вряд ли приведет к большим погрешностям в расчете. Температурную зависимость эффективной массы электронов  $m_{el}^*$  можно оценить, используя данные по собственным концентрациям носителей, полученные путем анализа гальваномагнитных коэффициентов [3-7]. В частности,  $n_i = 2.5 \cdot 10^{18} \text{ см}^{-3}$  при 300 К [6], при этом  $m_{el}^*(T)$  оказывается приблизительно пропорциональной  $E_g(T)$ . Наконец, температурное изменение эффективной массы дырок можно определить по температурной зависимости подвижности  $\nu_1$ , также полученной из гальваномагнитных измерений.

Пользуясь этими данными и предположениями, мы предприняли попытку вычислить кинетические коэффициенты при комнатной температуре,

используя параметры рассеяния, найденные при температуре жидкого азота, и получили удовлетворительно согласующиеся с экспериментом результаты для сопротивлений и термоэдс в двух главных направлениях, а также для термомагнитных эффектов. Вычисленная подвижность электронов  $\mu_3$  при 300 К практически совпала с результатом анализа гальваномагнитных коэффициентов  $\mu_3 = 1.5 \cdot 10^4 \text{ см}^2/\text{В} \cdot \text{с}$  [6].

Однако расчетные величины коэффициентов Холла и магнетосопротивления в слабом магнитном поле при 300 К оказались в резком противоречии с экспериментальными:  $\rho_{231}$  превышает экспериментальную величину приблизительно в 2 раза,  $\rho_{iklm}$  — на порядок. Причиной этого расхождения является отличие от единицы факторов Холла и магнетосопротивления электронов, обусловленное значительной энергетической зависимостью времени релаксации, хотя, согласно расчету, рекомбинационное рассеяние существенно снижает эти факторы по сравнению со случаем чисто акустического рассеяния в условиях сильной непарabolичности. При 77 К обсуждаемый эффект мал благодаря сильному статистическому вырождению электронов.

При анализе гальваномагнитных эффектов [3-7], результаты которого использованы в наших расчетах, факторы Холла и магнетосопротивления не учитывались. Таким образом, вся совокупность параметров, полученных в работах [3-7] при температурах  $T > 100$  К, требует коренного пересмотра. В частности, можно утверждать, что общепринятые значения собственной концентрации носителей сильно (приблизительно в два раза при 300 К) занижены и соответственно завышены подвижности. Эффективная масса электронов в соответствии с более высоким значением собственной концентрации должна быть увеличена, при этом ее рост с температурой окажется более сильным, чем увеличение  $E_g$ , как это и было получено экспериментально магнитооптическим методом [14].

Таким образом, несмотря на значительные упрощающие предположения, учет сложной анизотропной непарabolической зонной структуры зоны проводимости, акустического и рекомбинационного рассеяния электронов позволяет вычислить совокупность большого числа кинетических коэффициентов в нелегированном висмуте при 77 К в согласии с результатами измерений. Предварительные расчеты показали, что при более высоких температурах анализ гальваномагнитных эффектов должен производиться с учетом отличия факторов Холла и магнетосопротивления от единицы, и имеющиеся в литературе данные о собственной концентрации и подвижностях носителей требуют существенного пересмотра.

## ПРИЛОЖЕНИЕ

### К вопросу о «квазипарabolической» модели

Предложенная в работе [1] «квазипарabolическая» модель основана на формуле для времени релаксации в случае рассеяния электронов на акустических фононах, в которой учтена энергетическая зависимость вероятности рассеяния в рамках двухзонной модели непарabolичности, связанная с зависимостью блоховских амплитуд от волнового вектора

$$\frac{\tau^{-1}}{\tau_0^{-1}} = 1 - c \frac{\epsilon (\epsilon_g + \epsilon)}{(\epsilon_g + 2\epsilon)^2}, \quad (\text{П. 1})$$

где  $\tau_0^{-1}$  — обратное время релаксации, полученное без учета изменения блоховских амплитуд. Константа  $c$  в [1] является параметром подгонки.

Между тем авторами работ [22, 23], на которые как на источник формулы (П. 1) имеется ссылка в [1], было получено выражение более сложное, чем (П. 1)

$$\frac{\tau^{-1}}{\tau_0^{-1}} = \left(1 - \frac{(1-\xi)\epsilon}{\epsilon_g + 2\epsilon}\right)^2 - \frac{8}{3}\xi \frac{\epsilon(\epsilon_g + \epsilon)}{(\epsilon_g + 2\epsilon)^2}. \quad (\text{П. 2})$$

В формуле (П. 2) параметр  $\xi$  имеет смысл отношения констант деформационного потенциала электронов и дырок и может считаться подгоночным параметром. В частности, при  $\xi=1$ , как в халькогенидах свинца [23], (П. 2) переходит в (П. 1), но с вполне определенным значением  $c$ :  $c=8/3$ . Между тем в «квазипараболической» модели параметр  $c$  путем сравнения с экспериментальными данными выбирается равным  $c=4$ , при этом фактор (П. 1) при больших  $\epsilon/\epsilon_g$  приближается к нулю как  $(\epsilon/\epsilon_g)^{-2}$ , в то время как фактор (П. 2) является положительной величиной не менее  $2/9$  при любых значениях  $\xi$  (указанное минимальное значение достигается при  $\epsilon=1/3$ ). Таким образом, при  $c \geq 4$  имеется качественное различие между выражениями (П. 1) и (П. 2). Вычисление времени релаксации при больших энергиях с использованием (П. 1) при  $c > 4$  вообще приводит к отрицательной величине.

Таким образом, «квазипараболическая» модель не дает правильной энергетической зависимости времени релаксации при рассеянии на акустических фононах и не может быть использована для устраниния противоречия между теорией и экспериментом, возникающего при учете непараболичности зоны проводимости без включения в рассмотрение наряду с акустическим других механизмов рассеяния.

#### Список литературы

- [1] Heremans J., Hansen O. P. // J. Phys. C. 1979. V. 12. N 17. P. 3483—3496.
- [2] Mikhail I. F. I., Hansen O. P., Nielsen H. // J. Phys. C. 1980. V. 13. N 9. P. 1697—1713.
- [3] Abeles B., Meiboom S. // Phys. Rev. 1956. V. 101. N 2. P. 544—550.
- [4] Zitter R. N. // Phys. Rev. 1962. V. 127. N 5. P. 1471—1480.
- [5] Saunders G. A., Sumengen Z. // Proc. Roy. Soc. 1972. V. A329. N 1579. P. 453—466.
- [6] Michenaud J.-P., Issi J.-P. // J. Phys. C. 1972. V. 5. N 24. P. 3061—3072.
- [7] Гицу Д. В., Голбан И. Н., Кацнер В. Г., Мунтяну Ф. М. Явления переноса в висмуте и его сплавах. Кишинев: Штиинца, 1987. 267 с.
- [8] Nielsen H. // J. Phys. F. 1978. V. 8. N 1. P. 141—149.
- [9] Грязнов О. С., Немчинский В. А. // Письма в ЖЭТФ. 1981. Т. 34. № 3. С. 101—103.
- [10] Smith G. E., Baraff G. A., Rowell J. M. // Phys. Rev. 1964. V. 135. № 4. P. A1118—1125.
- [11] Фальковский Л. А. // УФН. 1968. Т. 94. № 1. С. 3—41.
- [12] Эдельман В. С. // УФН. 1970. Т. 102. № 1. С. 55—85.
- [13] Vecchi M. P., Dresselhaus M. S. // Phys. Rev. B. 1974. V. 9. N 8. P. 3257—3265.
- [14] Vecchi M. P., Dresselhaus M. S. // Phys. Rev. B. 1974. V. 10. N 2. P. 771—774.
- [15] Эдельман В. С. // УФН. 1977. Т. 123. № 2. С. 257—287.
- [16] Дорофеев Е. А., Фальковский Л. А. // ЖЭТФ. 1984. Т. 87. № 6 (12). С. 2202—2213.
- [17] Vecchi M. P., Pereira J. R., Dresselhaus M. S. // Phys. Rev. B. 1976. V. 14. N 2. P. 298—317.
- [18] Wolfe R., Smith G. E. // Phys. Rev. 1963. V. 129. N 3. P. 1086—1087.
- [19] Michenaud J.-P., Cheruvier E., Issi J.-P. // Solid St. Commun. 1971. V. 9. N 16. P. 1433—1435.
- [20] Uher C., Goldsmid H. J. // Phys. St. Sol. (b). 1974. V. 63. N 1. P. 163; V. 64. N 1. P. K25—K28.
- [21] Uher C., Goldsmid H. J. // Phys. St. Sol. (b). 1974. V. 65. N 2. P. 765—772.
- [22] Равич Ю. И., Морговский Л. Я. // ФТП. 1969. Т. 3. № 10. С. 1528—1539.
- [23] Ravich Yu. I., Efimova B. A., Tamarchenko V. I. // Phys. St. Sol. (b). 1971. V. 43. N 1. P. 11—33.

Физико-технический институт  
АН СССР им. А. Ф. Иоффе  
Ленинград

Ленинградский

электротехнический институт связи  
им. проф. М. А. Бонч-Бруевича

Поступило в Редакцию  
15 января 1991 г.